文章编号:1000-7601(2018)02-0137-07

doi: 10.7606/j.issn.1000-7601.2018.02.21

干旱胁迫对甘肃地区 5 种经济林苗木 水分利用效率的影响

种培芳,单立山,苏世平,李 毅 (甘肃农业大学林学院,甘肃 兰州 730070)

关键词:干旱胁迫;水分利用效率;经济林;稳定性碳同位素比率(δ¹³C)

中图分类号: Q945.75 文献标志码: A

Effects of drought stress on water use efficiency of five economic forest species in Gansu province

CHONG Pei-fang, SHAN Li-shan, SU Shi-ping, LI Yi (College of Forestry, Gansu Agricultural University, Lanzhou, Gansu 730070, China)

Abstract: As one of the most common natural disaster in the world, drought had caused serious impact on agricultural production in China. However, one of the key factors that effected the survival rate of trees in arid areas was water use efficiency (WUE) of plant. The net photosynthesis rate (Pn), transpiration rate (Tr), stomatal conductance (Gs), instant water use efficiency (WUE_I), WUE_L , total biomass and δ ¹³C were recorded from five economic forest species (Juglans regia, Ziziphus jujuba, Lycium chinense, Hippophae rhamnoides and Zanthoxylum bungeanum) to analyze the relationship between the comparison of the foliar carbon isotope composition (δ^{13} C) and long-term WUE (WUE_L). Seedlings were grown under four soil water regimes which were CK, light drought (LD), moderate drought (MD) and severe drought (SD). Compared with CK, Pn, Tr and Gs significantly decreased with the soil water decreasing for five economic forest species, except MiD (P < 0.05). For WUE_I , only Z. bungeanum, Z. jujuba and L. chinense shown different water effects between SD and CK (P < 0.05). Under four water treatments, H. rhamnoides had relatively higher WUE_I and lower Tr than other four economic forest species. The significant differences in WUE_L and δ ¹³C for five economic forest species were only exhibited between SD and CK (P < 0.05), and the WUE_L of L. chinense and H. rhamnoides were higher than other three species. For total biomass, there was only significant variations in Z. bungeanum, J. regia, Z. jujuba between SD and CK (P < 0.05). The relationship between WUE_L and $\delta^{13}C$ was that L. chinense and H. rhamnoides had higher correlation coefficient than other three species. These results indicated that the δ ¹³C value could be the reliable evaluation index of WUE to select economic forest species under drought stress. Our

收稿日期:2016-11-02

修回日期:2016-12-12

基金项目:甘肃省财政厅高等学校基本科研业务费项目(038-041013);国家自然科学基金项目(41461044)

作者简介:种培芳(1977—),女,甘肃永登人,博士,教授,主要从事植物逆境生理生态工作。E-mail: zhongpf@ gsau.edu.cn。

results also indicated that L. chinense and H. rhamnoides could be selected in arid areas and other three tree species could be selected in sufficient water area of Gansu.

Keywords: drought stress; water use efficiency; economic forest; carbon isotope composition (δ^{13} C)

甘肃位于我国西北部,地域辽阔,自然气候差异大。地形和生态环境的复杂性造就了甘肃丰富的林果树种,苹果、枸杞、大结杏、核桃、花椒、枣等林果品质优良,驰名中外。但甘肃大部分也都为旱区,具有水资源短缺、降雨量少、蒸发量大的特点,尤其纬度的高低变化使得甘肃省各地水分差异性较大[1]。在这种大尺度水分变化条件下,同一物种如何在不同地域适应生存是物种进化的关键所在,而水分则是影响干旱地区经济林发展的主要因素。因此,选择和发展水分利用效率高的树种,对保护甘肃地区水土生态环境安全以及调整旱区农业结构、增加农民收入具有非常重要的意义。

水分是限制植物生长、发育和繁殖最重要的因 素之一[2],随着水资源危机和干旱化危害的不断加 剧,我国已面临着重大的农林生产问题[3]。水分利 用效率(water use efficiency, WUE) 是植物生理活动 过程中消耗水形成有机物质的基本效率,能够反映 植物碳同化与水分耗散之间的关系,作为植物水分 利用状况和抗旱性特征的一个客观评价指标,可为 不同生境适宜树种的选择提供科学支持[4]。有研究 表明,干旱胁迫下水分利用效率高的植物其生产力 也会相对较高[5]。因此,在水分匮乏条件下,选择高 水分利用效率的植物种具有重要意义。目前,有些 学者采用光合速率与蒸腾速率之比即瞬时水分利用 效率(instant water use efficiency, WUE_I)来表征,但这 个值仅代表某特定时间内植物部分叶片的行为,适 于研究引起水分利用效率快速变化的生理生态过 程,并不能说明植物本身的水分利用特点[6-7]。所 以,更多的研究者利用现代生态学研究的一种新方 法即稳定碳同位素比率(δ13C)来代表植物长期生活 过程的平均水分利用效率[8-9]。现在,这一方法的 可靠性与稳定性已在许多研究结果中得以证实,例 如,张怡等对干旱胁迫下四倍体刺槐幼苗水分利用 效率及稳定碳同位素比率的研究发现 δ ¹³C 可以作 为筛选高 WUE 刺槐品种的指标^[10];余新晓等利用 δ 13C 值研究北京山区典型树种水分利用效率时发现 叶片 δ ¹³C 值和水分利用效率同向变化^[11]。

甘肃作为国家"一带一路"建设战略的重要地区之一在培育优势林果业方面具有重要的地位,特别是在水资源短缺的条件下发展何种经济林树种是值得思考的一个问题。本研究以甘肃地区主要的5种经济林苗木为试材,探讨了这5种苗木在不同水分

条件下的水分利用效率特征及其与稳定性碳同位素间的关系,以期为甘肃地区适宜经济林树种的选择及甘肃地区林业可持续发展提供理论依据和方法。

1 研究区概况

研究区位于甘肃省武威市林业高新技术示范园 区的良种繁育基地,地处甘肃省河西走廊东北部。 该区属典型的温带大陆性荒漠气候,土壤为碱性沙 土。具体自然概况见表 1。

表 1 试验地自然概况

Table 1 The natural profile of the test sample

Geogr	地理坐标 Geographical coordinates		年均温 Annual meantemp- erature	年降水量 Annual precipit- ation	年蒸发量 Annual evapotrans- piration
N	E	- /m	∕°C	/mm	/mm
38°38′	103°51′	1378	7.8	113.2	2604.3

2 材料与方法

2.1 试验材料

试验于 2015 年 4 月—2015 年 10 月进行, 试材选用本示范园提供的生长状况相近的核桃(Juglans regia)、枣(Ziziphus jujuba)、枸杞(Lycium chinense)、沙棘(Hippophae rhamnoides) 和 花 椒(Zanthoxylum bungeanum)2 年生实生苗。

2.2 试验设计

以上述5个树种为试材,每个树种选择生长健 康、大小基本一致的苗木,在2015年4月上旬移植 到高35 cm,盆口直径为37 cm的花盆中,盆土为 90%苗圃土配 10%蛭石,每盆 1 株。每个树种各 48 盆,充分浇水,确保苗木生长良好。所有实验材料均 放在微生境一致的条件下以排除其它因素对水分利 用效率的影响。待缓苗为2个月时(约6月初)进行 干旱处理,设定4个水分处理,分别为对照(土壤相 对含水量为75%~90%)、轻度干旱(土壤相对含水 量为60%~70%)、中度干旱(土壤相对含水量为 40%~55%)和重度干旱(土壤相对含水量为25%~ 35%),每个处理12盆;于每天下午六点用铝盒取回 土样后置于105℃烘箱中烘干至恒重计算含水量并 根据缺水量补充水分使各处理均达到相应的干旱程 度。采用遮雨棚防止自然降雨对干旱处理的影响。 于8月下旬开始取样,每次随机取3株苗木。

2.3 指标测定

2.3.1 长期水分利用效率(WUE_L) 生物量测定分别在 6月初和 8月底于控水试验开始前和结束后进行,取生长一致的 5个树种苗木各 3 株,洗净后放入烘箱杀青并烘至恒重。用万分之一的电子感应天平称干物质量,用减重法测得控水期间生物量的累计值(单位:g)。水分处理期间的生物量增加值与总浇水量(扣除参照花盆盆土的蒸发量,即以植株的耗水量为基数)的比值即为控水处理期间的长期水分利用效率 $WUE_L^{[8]}$,单位为 mg^*mL^{-1} 。

2.3.2 瞬时水分利用效率(WUE_I) 于控水处理后期(8月上旬),选晴好天气 3 天,用手提式光合测定系统(Lcpro + Ultra Compact Photosynthesis System, UK)在当地时间 9:00—11:00 分别对标记的 3 株生长势一致和位置相近的叶片进行净光合速率(Pn, CO_2 μ mol·m⁻²·s⁻¹)测定,同时获得蒸腾速率(Tr, H_2O mmol·m⁻²·s⁻¹)、气孔导度(Gs, H_2O mol·m⁻²·s⁻¹)。每次测定 3 个重复。瞬时水分利用效率根据 $WUE = Pn/Tr^{[12]}$ 计算。

2.3.3 稳定性碳同位素比率(δ^{13} C) 将用于测定生物量的每个树种每个处理的 3 株叶片 80℃烘干至恒重,研磨过 100 目筛,称 6~7 mg 装入安踣玻璃管,在铂金丝的催化下与氧化铜在 550℃~600℃下放出的氧气燃烧,然后把燃烧生产的气体经真空纯化系统纯化得到纯净的 CO_2 ,用 MAT – 252 质谱仪

(Finningan MAT Delta S., Bremen, Germany)测定稳定性碳同位素比率,以PDB(Pee Dee Belemnite)为标准,根据下面的公式进行计算:

$$\delta^{13} C = \{ [(^{13}C/^{12}C)_{\text{sample}} - (^{13}C/^{12}C)_{\text{PDB}}] / (^{13}C/^{12}C)_{\text{PDB}} \} \times 1000$$

其中, $\delta^{13}C$ 为样品稳定碳同位素比率(‰),因其绝对值非常小,故以 ‰ 表示。 $\delta^{13}C$ 皆为负值,表明样品中 ^{13}C 小于 PDB 标准中 ^{13}C 。

2.4 统计分析

试验中原始数据的整理采用 Microsoft Excel 2003 软件完成;用 SPSS 19.0 软件进行数据分析,用 LSD 多重比较进行显著性检验。

3 结果与分析

3.1 干旱胁迫对 5 个树种光合速率、蒸腾速率及气 孔导度的影响

5个树种的光合速率(*Pn*)随干旱胁迫程度的增加而呈逐渐下降趋势(表 2),除枣在轻度胁迫下的 *Pn* 与 CK 间无差异外,其它 4个树种在 3 种干旱胁迫处理下(轻度、中度和重度)的 *Pn* 均与 CK 间差异显著(*P*<0.05)。各树种均在重度干旱胁迫下达到最低值,分别比对照下降了 64.73%(花椒),62.04%(核桃),81.01%(枣),49.97%(枸杞)和 48.48%(沙棘)。

表 2 不同干旱处理下 5 个树种的光合速率

Table 2 Comparison of the net photosynthesis rate (Pn) of five economic forest species under drought stress treatments

干旱处理	净光合速率 Pn/(μmol·m ⁻² ·s ⁻¹)					
Drought treatment	花椒 Z. bungeanum	核桃 J. regia	枣 Z. jujuba	枸杞 L. chinense	沙棘 H. rhamnoides	
对照 CK	17.35 ± 0.19a	22.13 ± 0.33a	19.33 ± 0.41a	18.23 ± 0.41a	18.46 ± 0.20a	
轻度干旱 Light drought	$13.55\pm0.25\mathrm{b}$	$19.14\pm0.12\mathrm{b}$	$17.59 \pm 0.42a$	$15.21 \pm 0.42\mathrm{b}$	$15.53\pm0.16\mathrm{b}$	
中度干旱 Moderatedrought	$6.24 \pm 0.03\mathrm{c}$	$14.84\pm0.15\mathrm{c}$	$11.56\pm0.18\mathrm{b}$	$9.96 \pm 0.42 \mathrm{e}$	$13.21 \pm 0.50\mathrm{b}$	
重度干旱 Severe drought	$6.12 \pm 0.04 \mathrm{c}$	$8.40 \pm 0.09 \mathrm{d}$	$3.67 \pm 0.15 \mathrm{c}$	$9.56 \pm 0.38c$	$9.51 \pm 0.18\mathrm{c}$	

注:表中数据为平均值 ± 标准差(n = 9),不同小写字母表示处理间和树种间在 0.05 水平差异显著,下同。

Note: Data in table is the average \pm SD (n=9), different upper cases represent the significant difference between treatments and between species and clones at 0.05 level, respectively; the same as following.

与光合速率相比,干旱胁迫下 5 个树种的蒸腾速率(Tr)变化较为复杂(表 3)。其中花椒、核桃、枸杞和沙棘均逐渐下降,枣则先升高后下降。5 个树种的 Tr 均在重度干旱胁迫下达到最低,分别比对照降低了 84.32%(花椒),67.87%(核桃),58.74%(枣),49.71%(枸杞)、52.21%(沙棘),与 CK 间差异显著(P<0.05)。

5个经济林树种在不同水分条件下的气孔导度

(*G*s)除了枸杞的呈先下降后升高再下降外,其它 4 个树种的 *G*s 均随着水分胁迫的增加而逐渐下降 (表 4)。在重度胁迫时 5 个树种的 *G*s 均达最低值,分别比 CK 下降了 87.8%(花椒)、73.82%(核桃)、83.54%(枣)、10.28%(枸杞)、83.72%(沙棘)。除枸杞外其它 4 个树种的各水分处理间差异显著 (*P* < 0.05),而枸杞仅中度胁迫与其它处理间差异显著 (*P* < 0.05)。

表 3 不同干旱处理下 5 个树种的蒸腾速率

Table 3 Comparison of the transpiration rate (Tr) of five economic forest species under drought stress treatments

干旱处理	蒸腾速率 Tr/(mmol·m ⁻² ·s ⁻¹)					
Drought treatment	花椒 Z. bungeanum	核桃 J. regia	枣 Z. jujuba	枸杞 L. chinense	沙棘 H. rhamnoides	
对照 CK	6.19 ± 0.05a	$6.35 \pm 0.15a$	6.26 ± 0.28a	7.08 ± 0.13a	2.41 ± 0.10a	
轻度干旱 Light drought	$4.29 \pm 0.12 \mathrm{b}$	$5.13 \pm 0.03a$	$7.1 \pm 0.16a$	$6.65 \pm 0.06a$	$1.94 \pm 0.02\mathrm{b}$	
中度干旱 Moderatedrought	$1.84 \pm 0.02\mathrm{c}$	$3.46\pm0.09\mathrm{b}$	$3.79 \pm 0.03\mathrm{b}$	$5.53 \pm 0.10\mathrm{b}$	$1.46 \pm 0.05 \mathrm{b}$	
重度干旱 Severe drought	$0.97 \pm 0.01 \mathrm{d}$	$2.04 \pm 0.04 \mathrm{b}$	$0.83 \pm 0.10 \mathrm{c}$	$3.56\pm0.01\mathrm{c}$	$1.06 \pm 0.03\mathrm{b}$	

表 4 不同干旱处理下 5 个树种的气孔导度

Table 4 Comparison of the stomatal conductance (Gs) of five economic forest species under different drought stress treatments

干旱处理	气孔导度 Gs/(mmol·m ⁻² ·s ⁻¹)					
丁辛处理 Drought treatment	花椒 Z. bungeanum	核桃 J. regia	枣 Z . jujuba	枸杞 L. chinense	沙棘 H. rhamnoides	
对照 CK	175.78 ± 3.31a	248.33 ± 4.47a	276.89 ± 3.79a	224.78 ± 4.79b	246.44 ± 5.45a	
轻度干旱 Light drought	132.78 ± 2.11 b	174.00 ± 3.94 b	155.44 ± 3.07 b	$218.00 \pm 2.67 \mathrm{b}$	225.33 ± 4.33 b	
中度干旱 Moderatedrought	$95.67 \pm 3.15\mathrm{e}$	$78.11 \pm 2.57\mathrm{e}$	$59.11 \pm 2.99\mathrm{e}$	$311.78 \pm 4.93a$	$117.44 \pm 2.71c$	
重度干旱 Severe drought	21.44 ± 2.26 d	$68.00 \pm 4.82c$	$45.56 \pm 4.96c$	$191.44 \pm 3.50c$	$40.11 \pm 5.67 d$	

3.2 干旱胁迫对 5 个树种瞬时水分利用效率的影响

5个经济林树种的瞬时水分利用效率(WUE_I)在不同干旱胁迫下的变化不同(表 5)。花椒为升一降一升,在重度干旱胁迫时达到最大值,比 CK 增加了 126.43%。核桃为先升后降,在中度胁迫时达到最大值,比 CK 增加了 23.21%。枣的 WUE_I 在轻度干旱胁迫时开始下降,随着胁迫程度的增加,其值又

开始增加,在重度胁迫时达到最大值,比 CK 增加了 43.68%。枸杞的 WUE_I 则随着干旱胁迫程度的增加而先降低后升高的变化,在重度干旱胁迫时比 CK 增加了 4.44%。沙棘的 WUE_I 呈降一升一降的趋势,在中度干旱胁迫时达到最大值,比 CK 增加了 16.18%。核桃各处理间差异不显著,沙棘仅轻度胁迫与其它处理间差异显著(P < 0.05),其它 3 个树种则是重度胁迫与对 CK 间差异显著(P < 0.05)。

表 5 不同干旱处理下 5 个树种的瞬时水分利用效率

Table 5 Comparison of the instant water use efficiency (WUE_I) of five economic forest species under drought stress treatments

干旱处理	瞬时水分利用效率 $WUE_I/(\mu \text{mol} \cdot \text{mmol}^{-1})$					
十字处理 Drought treatment	花椒 Z. bungeanum	核桃 J. regia	枣 Z. jujuba	枸杞 L. chinense	沙棘 H. rhamnoides	
对照 CK	2.80 ± 0.05 b	$3.49 \pm 0.09a$	3.09 ± 0.11 b	2.58 ± 0.14a	8.14 ± 0.15a	
轻度干旱 Light drought	$3.16\pm0.09\mathrm{b}$	$3.72 \pm 0.03a$	$2.48 \pm 0.07 \mathrm{e}$	$2.29 \pm 0.09a$	7. 90 ± 0.08 b	
中度干旱 Moderatedrought	$3.39 \pm 0.03\mathrm{b}$	$4.30\pm0.13a$	$3.05\pm0.06\mathrm{b}$	$1.80\pm0.05\mathrm{b}$	$9.70 \pm 0.34a$	
重度干旱 Severe drought	$6.31 \pm 0.06 \mathrm{a}$	$4.12 \pm 0.09a$	$4.44 \pm 0.22a$	$2.68 \pm 0.05\mathrm{b}$	$8.98 \pm 0.34a$	

3.3 干旱胁迫对 5 个树种生物量的影响

随干旱胁迫程度的加剧,花椒、核桃和枣 3 个树种的生物量呈现逐渐下降的趋势(表 6),而枸杞和沙棘的生物量则在轻度胁迫时较 CK 有所上升,之后又呈下降趋势。5 个树种均在重度干旱胁迫下达到最低值,分别比 CK 下降了 73.73%(花椒)、54.52%(核桃)、70.49%(枣)、12.91%(枸杞)、

11.81%(沙棘),且花椒、核桃和枣在重度干旱胁迫时与 CK 间差异显著(P < 0.05),而枸杞和沙棘则差异不显著。

3.4 干旱胁迫对 5 个树种长期水分利用效率的影响

花椒和枣的 WUE_L 随干旱胁迫加剧表现为先升 高后降低,核桃是先降低后升高,枸杞和沙棘则是逐 渐上升(表 7)。各树种在达到了最大值时分别比 CK 增加了 11.31%(花椒)、12.56%(核桃)、21.15%(枣)、43.06%(枸杞)、41.26%(沙棘),且与 CK 间差异显著(*P* < 0.05)。

3.5 干旱胁迫对 5 个树种稳定碳同位素的影响

5个树种的 δ^{13} C 整体呈随干旱胁迫程度的加剧而增加的趋势(表 8),均在重度干旱胁迫时达到最大值。与 CK 相比,花椒增加了 8.14‰,核桃增加了 11.59‰,枣增加了 7.40‰,枸杞增加了 10.29‰,沙棘增加了 8.83‰。此外,5个树种间的 δ^{13} C 也存在差异,尤其是枸杞叶片的 δ^{13} C 值在对照和重度干旱胁迫均大于其它 4个树种,且可以看出干旱胁迫所引起的 δ^{13} C 差异要比树种间的差异大,可以说水分是引起 δ^{13} C 的差异的主要因素。

3.6 δ¹³C 与 WUE_L 的关系

5 个树种 δ^{13} C 与 WUE_L 的关系均呈显著正相关性(图 1),相关系数分别可达到 0.504(花椒)、0.666(核桃)、0.746(枣)、0.839(枸杞)和 0.899(沙棘)。

而不同水分处理下两者的相关性分别为 0.592 (CK)、0.597 (轻度胁迫)、0.901 (中度胁迫)、0.938 (重度胁迫)。这表明随着水分胁迫程度的增加, δ^{13} C与 WUE_L 的相关关系也越来越紧密。

4 讨论

干旱胁迫会导致植物发生一系列生理生态反应,从而适应干旱环境。这种反应包括生物量的调配和水分利用效率的提高等^[13]。本研究发现,重度干旱胁迫下 5 个树种的 WUE₁ 均比 CK 高。这与陈超等^[14]研究指出,在干旱条件下植物的水分利用效率会得到提高,水分利用方式会更加有效的报道一致,只是干旱胁迫的程度不同而已。WUE 与植物生理因子如叶水势、气孔、光合速率、蒸腾速率等有关^[15],其中气孔由于对 CO₂ 和水汽扩散的影响不同步,进而影响植物 WUE。在本研究中,干旱胁迫导致 5 个树种气孔导度下降,而水分利用升高,这与Farquhar^[16]和龚吉蕊等^[17]的研究结果相似。分析 5

表 6 不同干旱处理下 5 个树种的生物量

Table 6 Comparison of the total biomass of five economic forest species under drought stress treatments

干旱处理	生物量 Total biomass/g					
Drought treatment	花椒 Z. bungeanum	核桃 J. regia	枣 Z. jujuba	枸杞 L. chinense	沙棘 H. rhamnoides	
对照 CK	80.24 ± 3.35a	45.21 ± 0.09a	52.10 ± 3.11a	17.81 ± 0.14a	12.45 ± 0.15 b	
轻度干旱 Light drought	$72.30 \pm 3.57a$	35.68 ± 0.03 b	$45.52 \pm 2.07a$	$18.18\pm0.59a$	$17.65 \pm 0.28a$	
中度干旱 Moderatedrought	46.25 ± 2.26 b	$28.52 \pm 0.13\mathrm{e}$	$30.08 \pm 2.88\mathrm{b}$	$16.26 \pm 0.45a$	$11.84 \pm 0.34\mathrm{b}$	
重度干旱 Severe drought	$21.08 \pm 1.81\mathrm{c}$	$11.56 \pm 0.09\mathrm{d}$	$15.57 \pm 1.22\mathrm{e}$	$15.50 \pm 0.35a$	$10.18\pm0.49\mathrm{b}$	

表 7 不同干旱处理下 5 个树种的长期水分利用效率

Table 7 Comparison of the long - term water use efficiency (WUEL) of five economic forest species under drought stress treatments

工目私加	长期水分利用效率 $WUE_L/(\text{mg·mL}^{-1})$					
干旱处理 Drought treatment	花椒 Z. bungeanum	核桃 J. regia	枣 Z . jujuba	枸杞 L. chinense	沙棘 H. rhamnoides	
对照 CK	$1.96 \pm 0.02\mathrm{b}$	$1.83 \pm 0.28 \mathrm{b}$	1.56 ± 0.03 b	$2.09 \pm 0.12\mathrm{e}$	2.01 ± 0.03 b	
轻度干旱 Light drought	$2.11 \pm 0.01a$	$1.72\pm0.05\mathrm{c}$	$1.83 \pm 0.05 \mathrm{a}$	$2.32 \pm 0.06\mathrm{b}$	$2.31 \pm 0.03a$	
中度干旱 Moderate drought	$2.21 \pm 0.09a$	$1.85 \pm 0.01\mathrm{b}$	$1.89 \pm 0.05 \mathrm{a}$	$2.53 \pm 0.01\mathrm{b}$	$2.59 \pm 0.02a$	
重度干旱 Severe drought	$2.19 \pm 0.08a$	$2.05\pm0.04a$	$1.79 \pm 0.01a$	$2.99 \pm 0.09a$	$2.86 \pm 0.11a$	

表 8 不同干旱处理下 5 个树种的稳定碳同位素比率比较

Table 8 Comparison of the Foliar carbon isotope composition (δ ¹³C) of five economic forest species under drought stress treatments

干旱处理			δ 13 C/‰		
T 手处理 Drought treatment	花椒 Z. bungeanum	核桃 J. regia	枣 Z. jujuba	枸杞 L. chinense	沙棘 H. rhamnoides
对照 CK	- 30.53b	- 31.67d	- 30.81b	- 30.01b	- 29.99b
轻度干旱 Light drought	– 28.44a	-30.24c	- 29.65b	- 29.03b	- 29.06b
中度干旱 Moderatedrought	– 28.26a	- 29.35b	– 28.86a	– 28.26b	– 28.36a
重度干旱 Severe drought	– 28.04a	– 27.99a	- 28.53a	- 26.93a	– 27.34a

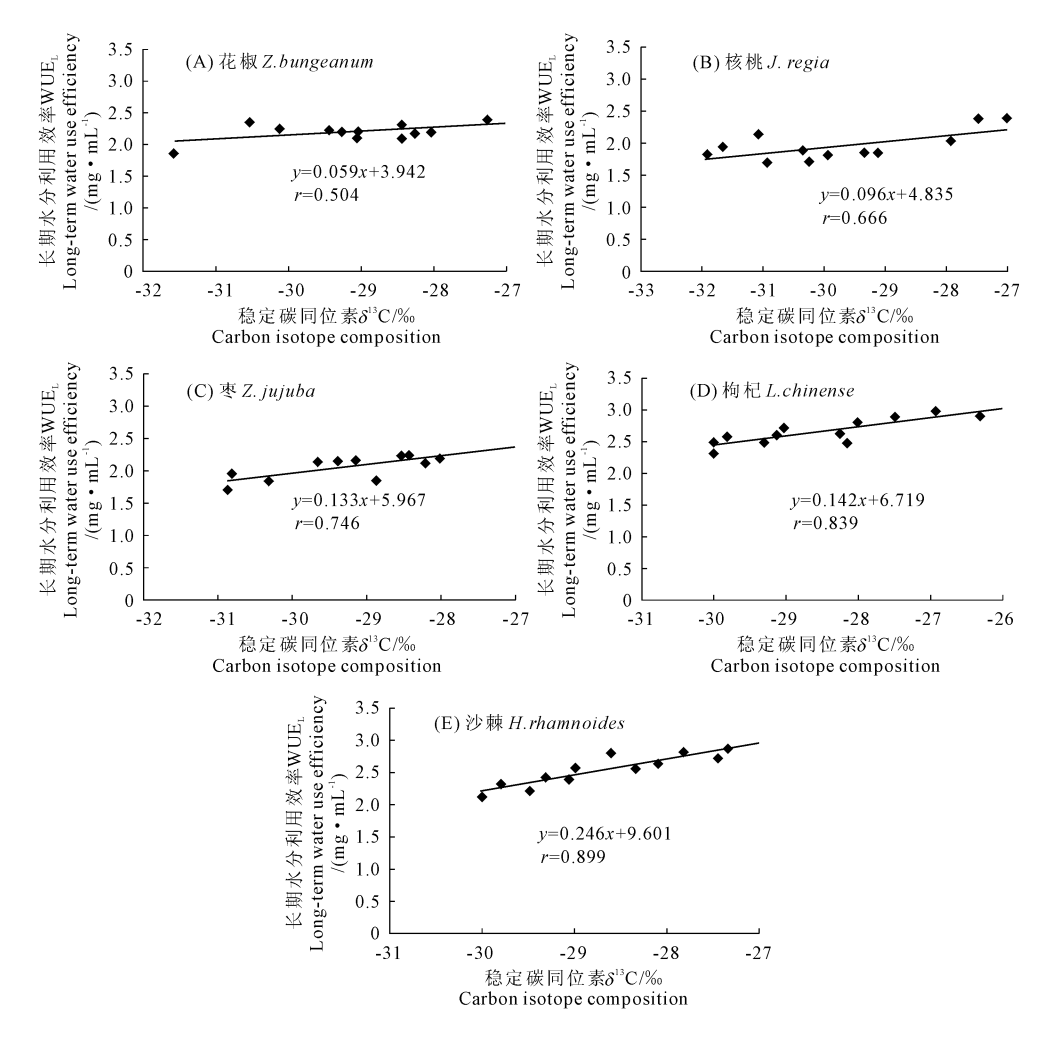


图 1 5 个经济林树种稳定碳同位素组成(δ^{13} C)和 WUE_L 的相关性分析

Fig. 1 Analysis of the relationship between δ^{13} C and WUE_L in five economic forest species

个树种出现这种现象的主要原因是,气孔导度下降, 引起光合速率和蒸腾速率的下降,但蒸腾速率下降 比光合速率下降快,最终使得水分利用效率升高。

长期水分利用效率能代表一个植物个体的水分状况^[18]。本研究结果表明,5种经济林树种在正常供水条件下和重度干旱胁迫 WUE_L 值大小的排序不同,说明 5个树种除了在遗传因素上的 WUE_L 差异外,水分条件的改变也会使其 WUE_L 不同。植物降低生长可以提高 WUE,适应干旱环境^[19]。本研究发现,干旱胁迫导致 5个树种的生物量下降,水分利用效率提高,与前人研究结果相似。但纵观 5个树种在重度胁迫下 WUE_L 的增幅和生物量的降幅(表6和表7)可以看出,枸杞和沙棘的 WUE_L 的增幅显著大于其它 3个树种,但生物量的降幅却小于它们。说明干旱胁迫不但提高了沙棘和枸杞的水分利用效率,也使得它们能利用这些水分来减缓干旱胁迫引起的生物量下降,从而提高对其自身干旱的适应性,这可能是它们响应干旱的一种生理机制。

C, 植物13C 的自然丰度提供了一个有效测定植 物长期碳水平衡的措施[20]。近年来,国内外许多学 者对不同树种及其不同基因型的 δ^{13} C 和 WUE 的关 系进行了研究[21-24],结果表明,水分因子的改变造 成植物的 WUE 差异都能在 $\delta^{13}C$ 值上反映出来, δ^{13} C和 WUE, 有很强的相关性。尤其是在干旱胁迫 下,高δ¹³C可作为植物高 WUE 无性系选择的可靠 指标[25-26]。但也有学者认为,在正常水分条件下,δ 13 C 与 WUE_L 呈负相关,而在干旱条件下, δ^{13} C 则与 WUE, 没有相关性[27]。本研究结果发现,5个树种 之间的 δ^{13} C 和 WUE, 之间的相关性各不相同。就 树种而言,沙棘δ13C与 WUE, 间的相关性最大,其 它依次为枸杞 > 核桃 > 枣 > 花椒。就不同水分处理 间比较,则随水分的减少, δ^{13} C与 WUE_L 间的相关 性越来越显著,即重度胁迫>中度胁迫>轻度胁迫 > CK。这说明,干旱胁迫下高 δ ¹³C 是评定这 5 个树 种高 WUE 的可靠指标。此结论与张怡等在刺槐上 的研究结果相似[10],而与赵凤君等在黑杨上的研究

结果不同^[26]。可能是因为干旱处理的方法不同,也可能是物种间水分利用效率机制不同。

Brooks 等^[28]认为,落叶乔木 δ ¹³C 大于落叶灌木 的 δ ¹³C。本研究的 5 个树种中,核桃、花椒和枣是属于落叶乔木或小乔木,但它们的 δ ¹³C 小于灌木枸杞和沙棘 δ ¹³C。这和以往的研究的结果不同,可能是分析方法或植物的生态适应性不同,或者是因为所选择的核桃、花椒和枣较小的苗木,所以其本身的 δ ¹³C 较小的缘故。当然,δ ¹³C 还和其它很多因素有关,究其和水分利用效率的关系,也会和其它因素如物种、水分条件、气候环境等有关,需要进行进一步的研究。

综上所述,干旱胁迫下枸杞和沙棘因其高水分利用效率和高δ¹³C值而比其它几个树种拥有更高的抗旱性。所以在甘肃省水分条件较差的地区可以选择这2个经济林树种,以发挥其水分利用高的特点来适应当地生境,而在水分较好的地区则可以发展其它3个树种。

参考文献:

- [1] 闫业庆,胡雅杰.甘肃省降水量时空分布特征浅析[J].甘肃科技,2011,27(1);63-66.
- [2] 肖春旺,周广胜.毛乌素沙地中间锦鸡儿幼苗生长、气体交换和叶绿素荧光对模拟降水量变化的响应[J].应用生态学报,2001,21(5):692-696.
- [3] 张光灿,刘 霞,贺康宁,等.金矮生苹果叶片气体交换参数对土壤水分的响应[J].植物生态学报,2004,28(1):66-72.
- [4] 严昌荣,韩兴国,陈灵芝,等.暖温带落叶阔叶林主要植物叶片中 δ^{13} C 值的种间差异及时空变化[J]. 植物学报,1998,40(9):553-859.
- [5] Lucero D W, Grieu P, Guckert A. Water deficit and plant competition effects on growth and water use efficiency of white clover (*Trifolium repens L.*) and ryegrass (*Lolium perenne L.*) [J]. Plant and Soil, 2000, 227:1-15.
- [6] 刘 冰,赵文智.荒漠绿洲过渡带柽柳和泡泡刺光合作用及水分代谢的生态适应性[J].中国沙漠,2009,29(1):101-107.
- [7] 闫海龙,张希明,许 浩,等.塔里木沙漠公路防护林植物沙拐 枣气体交换特性对干旱胁迫的响应[J].中国沙漠,2007,27(3): 460-465.
- [8] 赵凤君,沈应柏,高荣孚,等.叶片 8¹³C 与长期水分利用效率的 关系[J].北京林业大学学报,2006,28(6):40-45.
- [9] 宋锋惠,吴正保,命 涛,等.新疆5个枣品种叶片碳同位素组成、瞬时水分利用效率的季节变化及与气象因子的关系[J].果树学报,2012,29(1):66-70.
- [10] 张 怡,罗晓芳,沈应柏.干旱胁迫下四倍体刺槐幼苗水分利 用效率及稳定碳同位素组成的研究[J].西北植物学报,2009, 29(7):1460-1464.

- [11] 余新晓,杨芝歌,白艳婧,等.基于 δ^{13} C 值的北京山区典型树种水分利用效率研究[J].应用基础与工程科学学报,2013,21 (4):593-599.
- [12] 李荣生,许煌灿,尹光天,等.植物水分利用效率的研究进展 [J].林业科学研究,2003,16(3):366-371.
- [13] 陈 平,孟 平,张劲松,等.两种药用植物生长和水分利用效率对于旱胁迫的响应[J].应用生态学报,2014,25(5):1300-1306.
- [14] 陈 超,赵丽丽,王普昶,等.百脉根对干旱胁迫的生长、生理 生态响应及其抗旱性评价[J].水土保持学报,2014,28(3): 300-306.
- [15] 蔡丽平,吴鹏飞,侯晓龙,等.干旱胁迫对水土保持先锋植物类 芦光合特性的影响[J].水土保持学报,2011,25(6):237-214, 259.
- [16] Farquhar G,张玉翠译.水分利用效率与用水有效性:基于气孔 视角的稳定同位素应用研究[J].中国生态农业学报,2014,22 (8):886-889.
- [17] 龚吉蕊,黄永梅,葛之葳,等.4 种杂交杨对土壤水分变化的生态学响应[J].植物生态学报,2009,33(2):387-396.
- [18] 陈 平,张劲松,孟 平,等.稳定碳同位素测定水分利用效率的可行性分析一以决明子为例[J].生态学报,2014,34(19):5453-5459.
- [19] Saraswathi S G, Paliwal K. Drought induced changes in growth, leaf gas exchange and biomass production in *Albizia lebbeck* and *Cassia siamea* seedlings[J]. Journal of Environmental Biology, 2011, 32: 173-178.
- [20] 刘海燕,李吉跃.稳定碳同位素在植物水分利用效率研究中的应用[J].西北林学院学报,2008,23(1):54-58.
- [21] 苏 波,韩兴国,李凌浩,等.中国东北样带草原区植物 8 ¹³ C 值及水分利用效率对环境梯度的响应 [J]. 植物生态学报, 2000,24(6):648-655.
- [22] 孙守家,孟 平,张劲松,等.华北石质山区核桃-绿豆复合系统氘同位素变化及其水分利用[J].生态学报,2010,30(14):3718-3726.
- [23] 方晓娟,李吉跃,聂立水,等.毛白杨杂种无性系稳定碳同位素值的特征及其水分利用效率[J].生态环境学报,2009,18(6): 2267-2271.
- [24] 严昌荣, 韩兴国, 陈灵芝. 六种木本植物水分利用效率和其小 生境关系研究[J]. 生态学报, 2001, 21(11): 1952-1956.
- [25] Osorio J, Pereira J S. Genotypic differences in water use efficiency and 13C discrimination in Eucalyptus globules[J]. Tree Physiology, 1994, (4):871-882.
- [26] 赵凤君,高荣孚,沈应柏,等.水分胁迫下美洲黑杨不同无性系间叶片 δ^{13} C和水分利用效率的研究[J].林业科学,2005,41 (1):36-41.
- [27] Ehleringer J R, Hall A E, Farquha R G D. Stable Isotopes and Plant Carbon – water Relations[M]. New York: Academic Press, 1993: 247-267.
- [28] Brooks J R, Flanagan B, Buchmann N, et al. Carbon isotope composition of boreal plants: functional grouping of life forms[J]. Oecologia, 1997,110;301-311.